

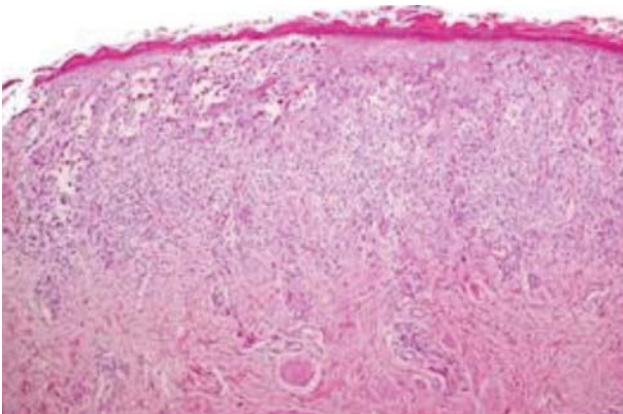
Mi experiencia en dermatopatología I *My experience in dermatopathology I*

Martín Sangueza¹

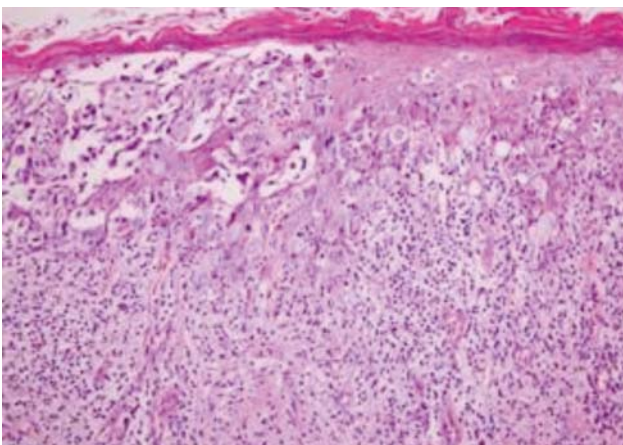
Enfermedad de Paget



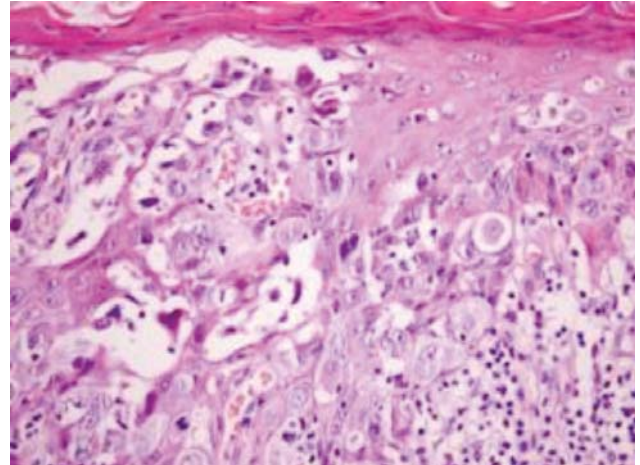
Fotografía 1. Lesión erosiva y sangrante en pezón.



Fotografía 2. Epidermotropismo e infiltrado inflamatorio en la dermis superficial. HE 4X.



Fotografía 3. Células atípicas individuales y formando nidos intraepidérmicos e infiltrado inflamatorio de linfocitos subyacente. HE 10X.



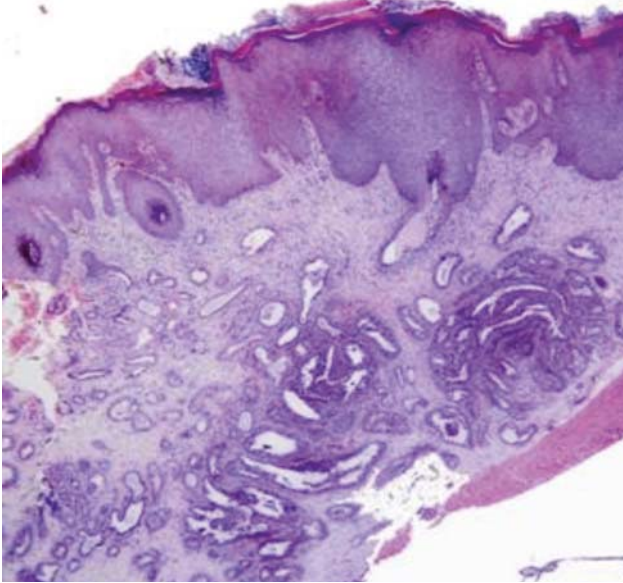
Fotografía 4. Células acantolíticas de citoplasma amplio y claro, con núcleo hiper cromático y pleomórfico. HE 40X.

Adenosis erosiva del pezón

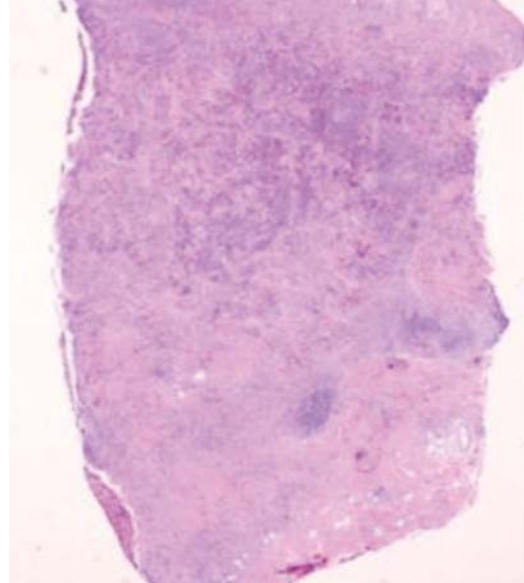


Fotografía 5. Lesión pápulo-erosiva, costrosa, en pezón.

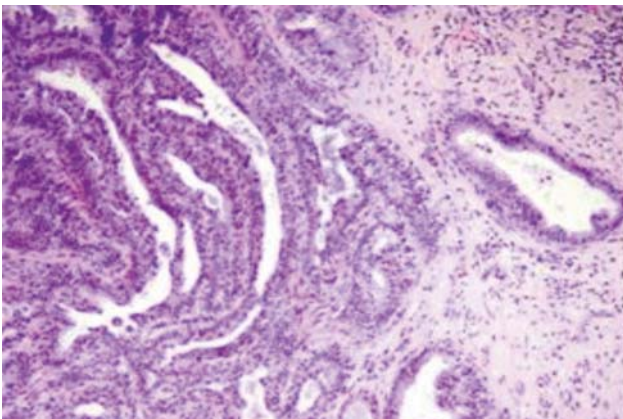
¹ Médico dermatopatólogo. Hospital Obrero N°1, Caja Nacional de Salud. La Paz-Bolivia.



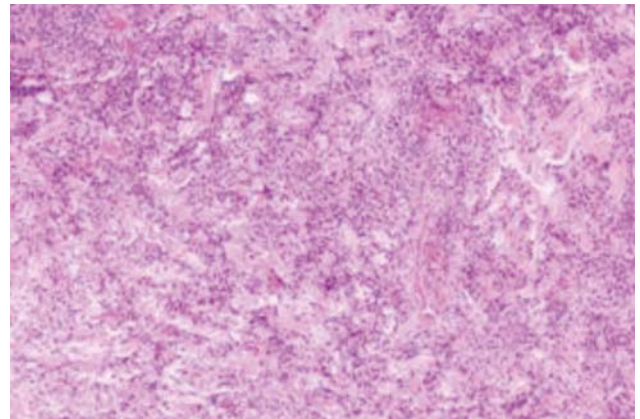
Fotografía 6. Proliferación de estructuras tubulares en dermis. HE 4X.



Fotografía 9. Infiltrado difuso de linfocitos grandes en dermis superficial y profunda. HE 4X.



Fotografía 7. Espacios glandulares revestidos por epitelio de tipo apocrino, con capas de células mioepiteliales y secreción mucinosa. HE 10X.

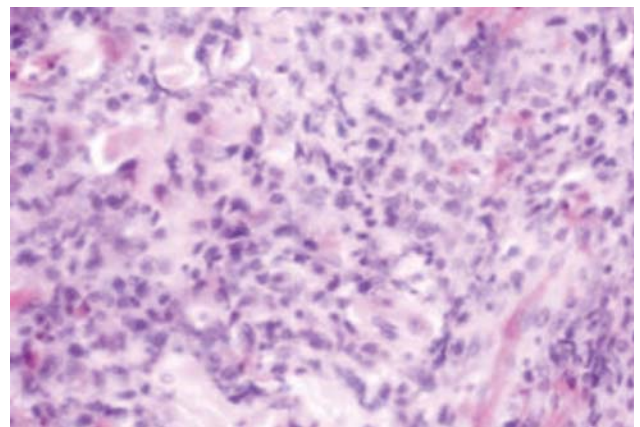


Fotografía 10. Proliferación difusa de células grandes y pleomórficas. HE 10X.

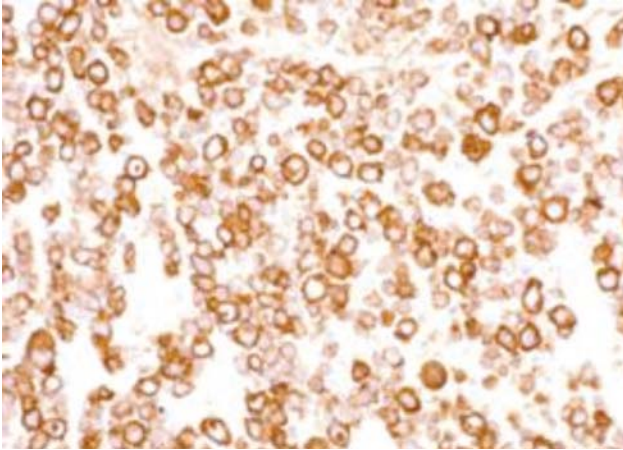
Linfoma anaplásico



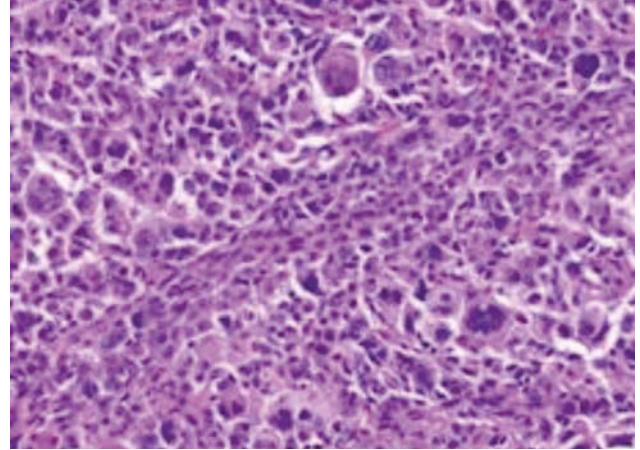
Fotografía 8. Nódulo ulcerado en brazo derecho de dos meses de evolución.



Fotografía 11. Células atípicas, de citoplasma amplio y núcleos vesiculosos, algunos con morfología, "en herradura". HE 40X.



Fotografía 12. CD30+ en más del 75% de células grandes. CD30 40X.

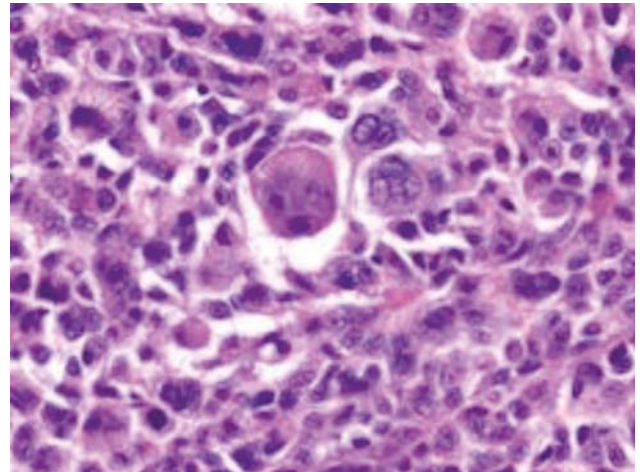


Fotografía 15. Células epitelioides y pleomórficas. HE 10X.

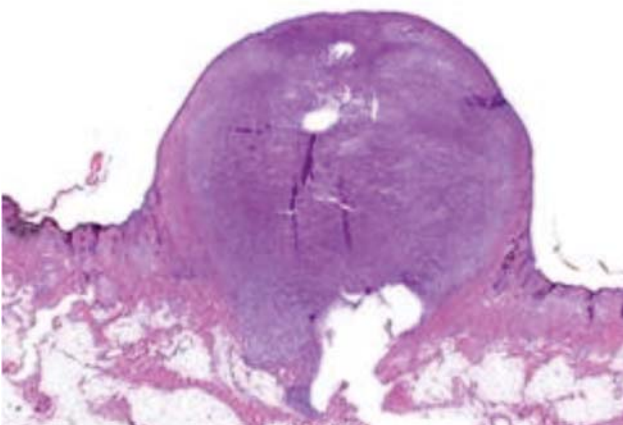
Melanoma maligno con fibroxantoma atípico



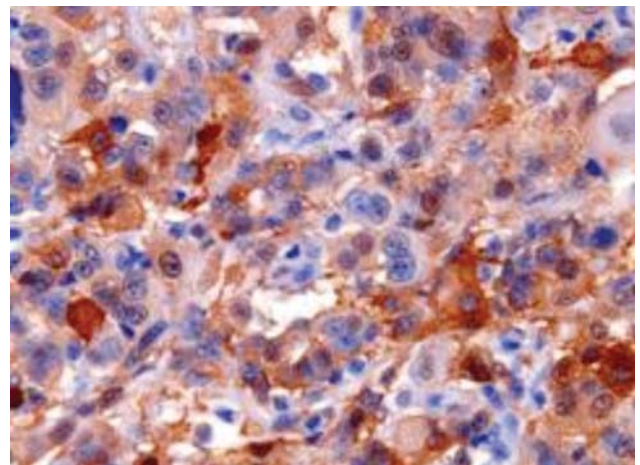
Fotografía 13. Mácula pigmentada de bordes irregulares en mejilla derecha, con nódulo exofítico de dos meses de evolución.



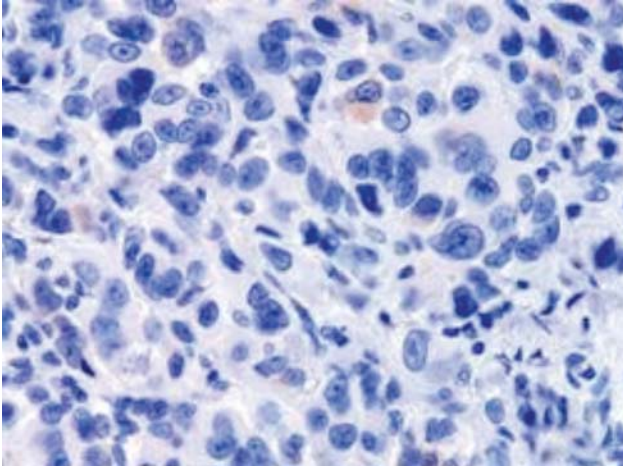
Fotografía 16. Células poligonales de citoplasma eosinofílico con núcleo vesiculoso y nucléolo prominente, algunas multinucleadas. Se observan mitosis. HE 40X.



Fotografía 14. Se observa una tumoración exofítica intradérmica central y una proliferación de melanocitos en las zonas laterales. HE 2X.



Fotografía 17. S100+ en algunas células. S100 40X.

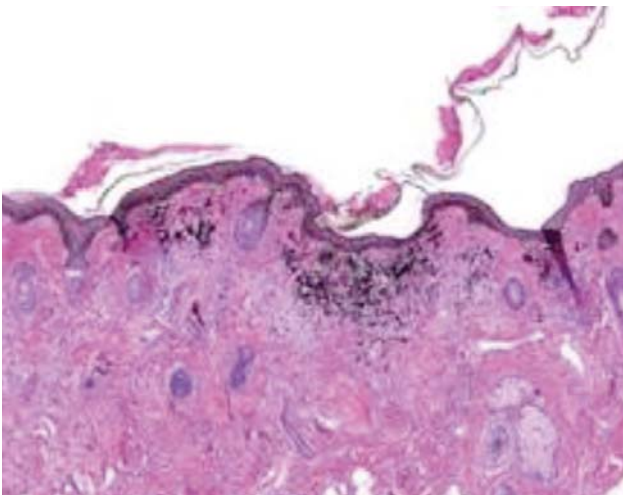


Fotografía 18. Proliferación celular con Melan A negativo. Melan A 40X.

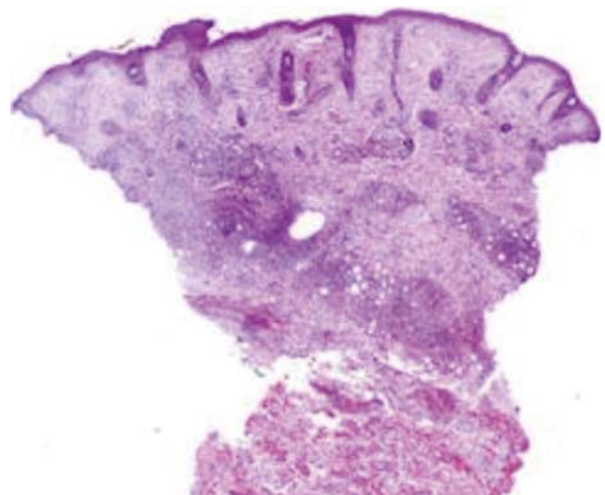
Linfoma tipo hidroa



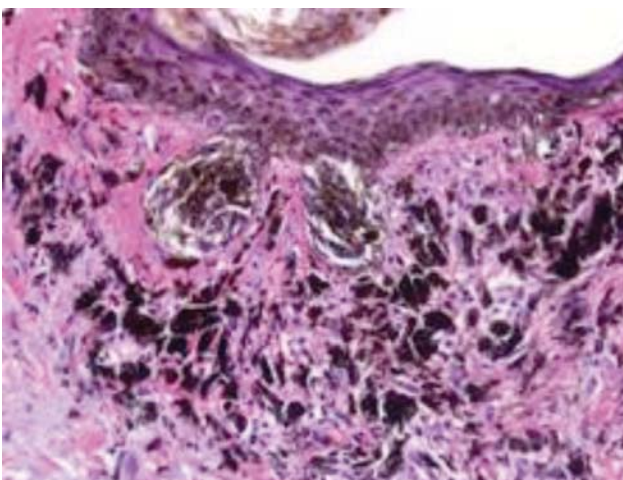
Fotografía 21. Eritema y edema en párpado inferior derecho.



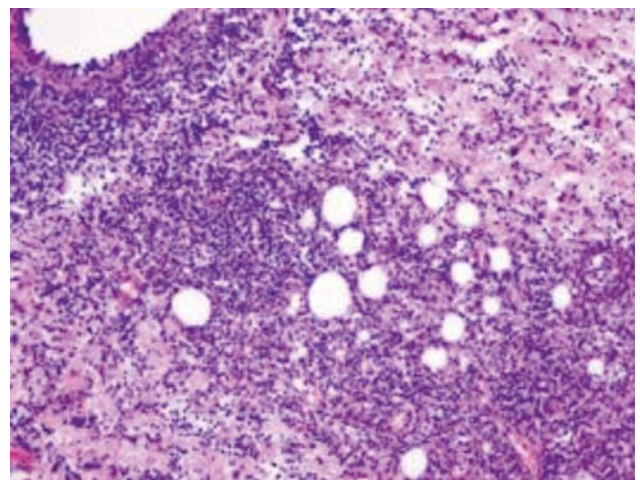
Fotografía 19. Proliferación asimétrica de melanocitos individuales y en nidos a lo largo de la unión dermoepidérmica. HE 4X.



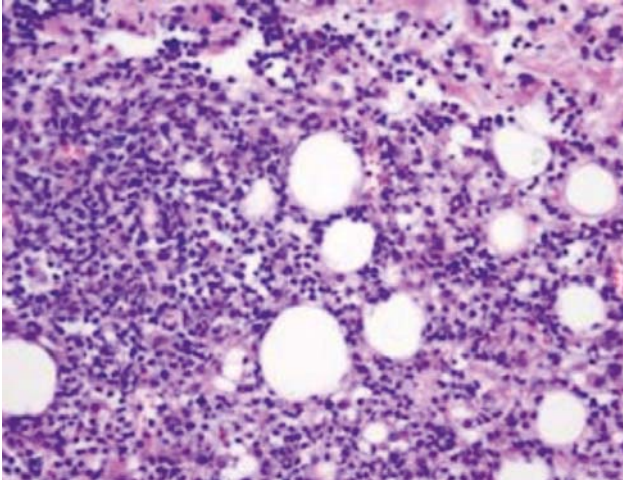
Fotografía 22. Infiltrado de células linfoides en la dermis superficial y profunda. HE 4X.



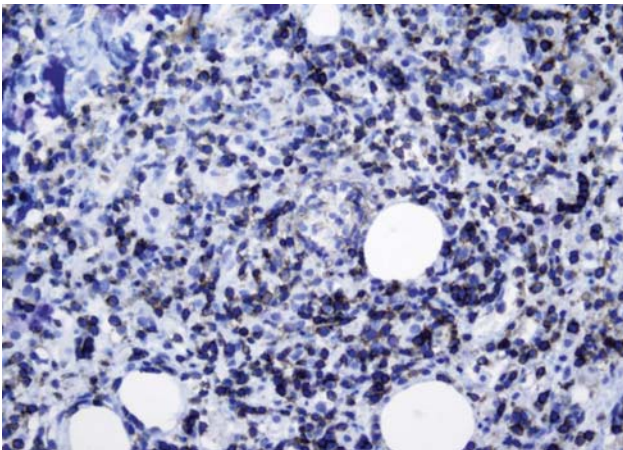
Fotografía 20. Nidos de melanocitos de diferentes tamaños con abundante pigmento melánico y presencia de melanófagos en dermis contigua. HE 10X.



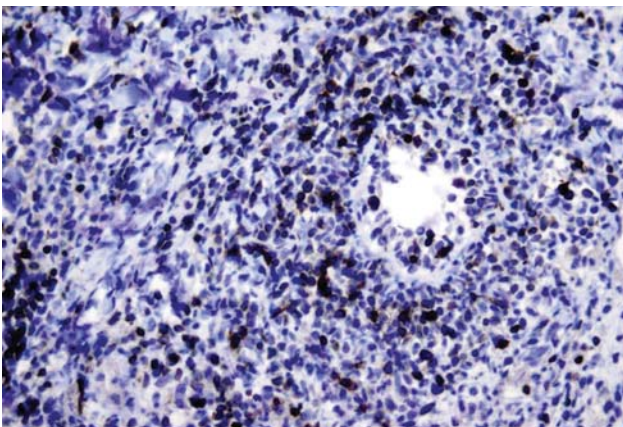
Fotografía 23. Linfocitos de tamaño mediano y pequeño infiltrando la grasa. HE 10X.



Fotografía 24. Células con núcleo hiper cromático denso, nucléolo pequeño y mitosis ausentes. HE 40X.



Fotografía 25. Infiltrado positivo a CD56. CD56 40X.

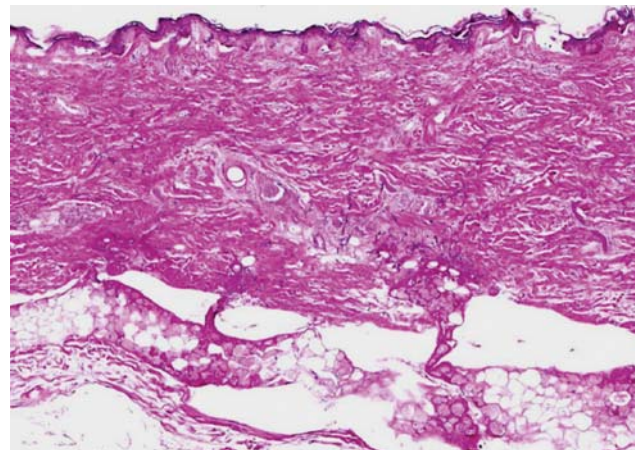


Fotografía 26. Hibridación in situ para Epstein-Barr virus (EBER) positiva. EBER 40X.

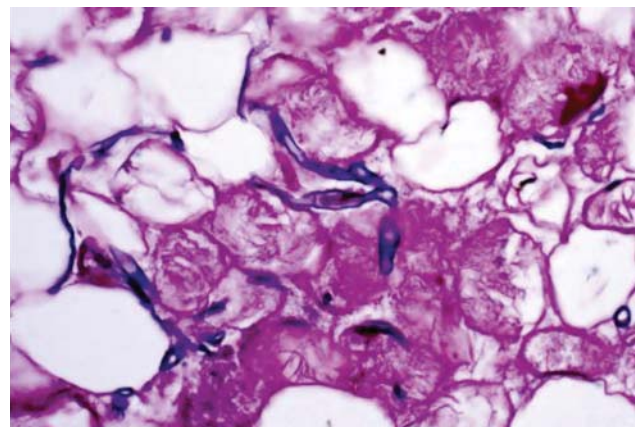
Mucormicosis



Fotografía 27. Placa infiltrada que progresivamente presenta necrosis y ulceración en antebrazo derecho.



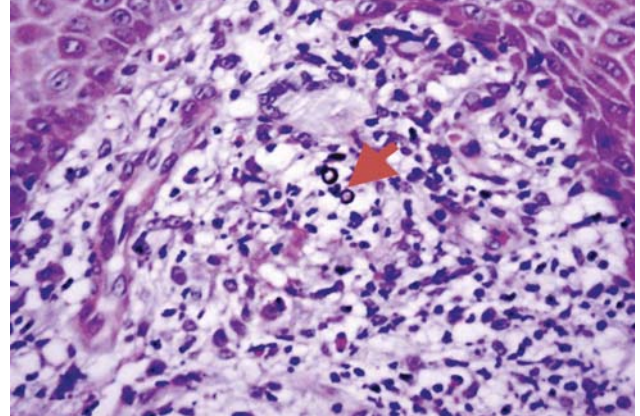
Fotografía 28. Estructuras alargadas en dermis y en tejido graso, con áreas de necrosis extensa. HE 2X.



Fotografía 29. Hifas gruesas no septadas y ramificadas de paredes delgadas en el tejido graso. HE 40X.



Fotografía 30. Con tinción de plata se identifica la división en ángulo de 90°, de las hifas de mucor. Ag 10X.

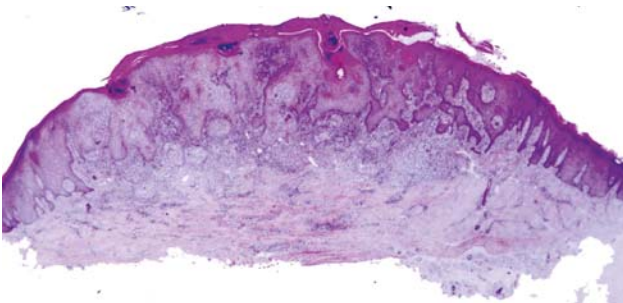


Fotografía 34. Infiltrado caracterizado por histiocitos, células gigantes, células plasmáticas y linfocitos. Se observan estructuras redondas marrones con una membrana gruesa, "monedas de cobre", que corresponden a esporas (flecha). HE 40X.

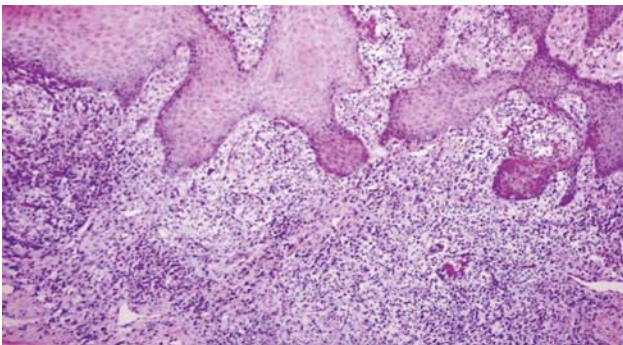
Cromoblastomycosis



Fotografía 31. Placa verrucosa infiltrada en región anterior de rodilla y muslo.



Fotografía 32. Hiperplasia pseudoepiteliomatosa. HE 4X.

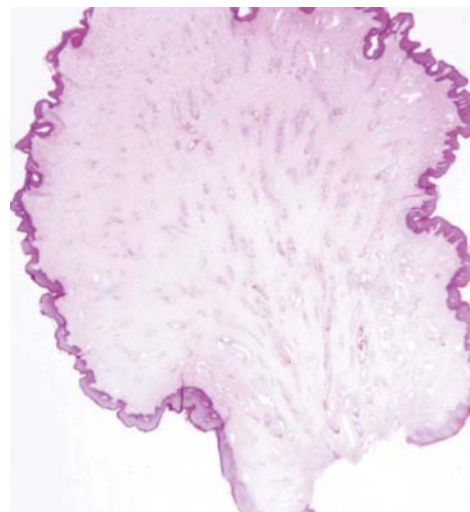


Fotografía 33. Hiperplasia pseudoepiteliomatosa e infiltrado inflamatorio granulomatoso en dermis adyacente. HE 10X.

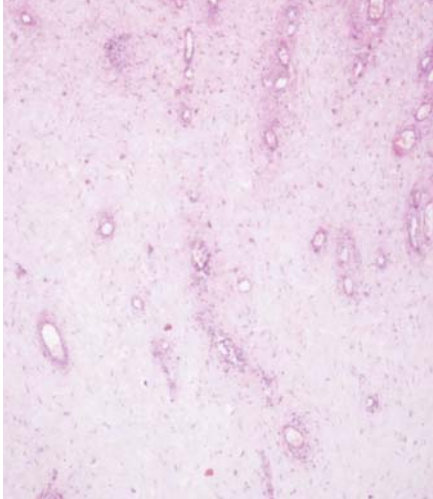
Linfedema tumoral localizado



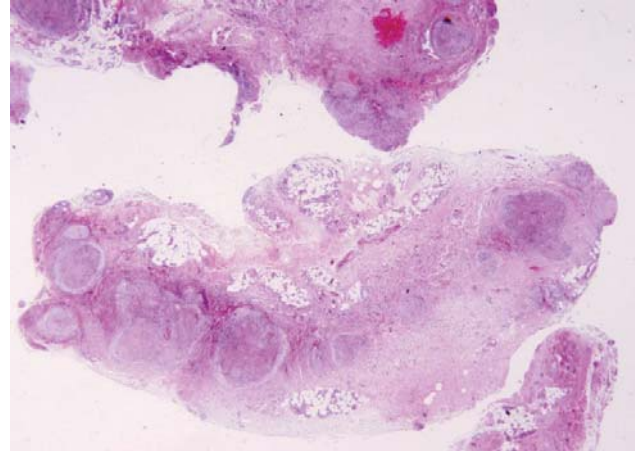
Fotografía 35. Múltiples nódulos de aspecto polipoidé, asintomáticos, en labios mayores de vulva.



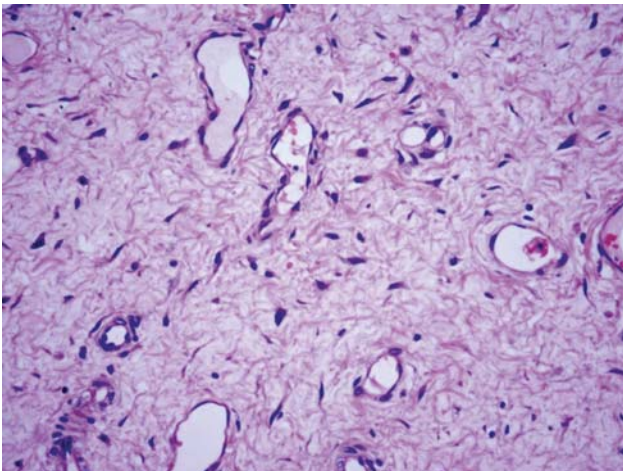
Fotografía 36. Lesión papilomatosa con dermis edematosa. HE 2X.



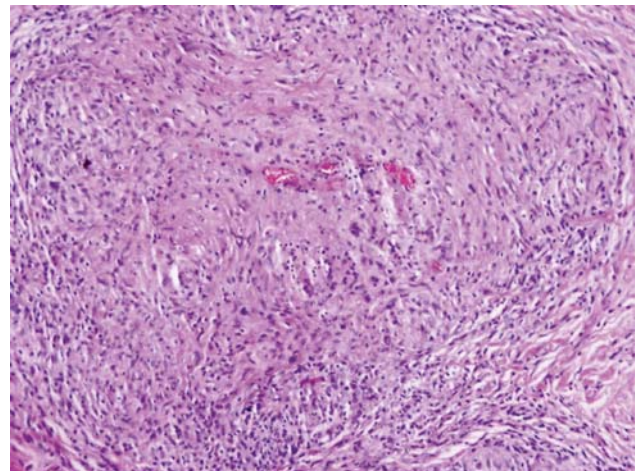
Fotografía 37. Edema prominente de la dermis y numerosos vasos sanguíneos. HE 10X.



Fotografía 40. Ulceración e infiltrados nodulares en dermis. HE 2X.



Fotografía 38. Estroma edematoso con vasos sanguíneos dilatados de paredes delgadas y numerosos fibroblastos estelados. HE 40X.

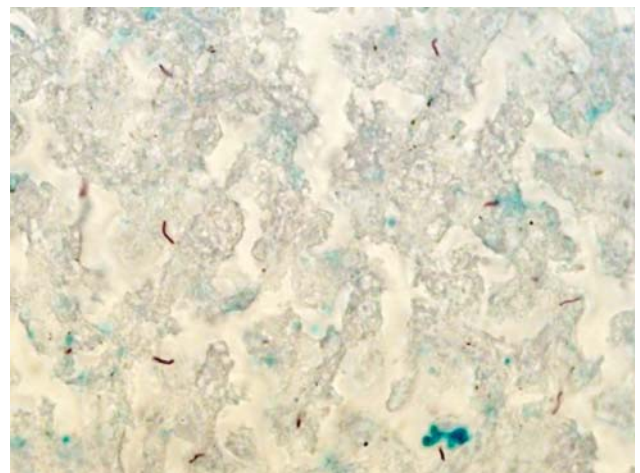


Fotografía 41. Presencia de granulomas tipo tuberculoides sin necrosis caseosa. HE 10X.

Tuberculosis cutánea: escrofulodermia



Fotografía 39. Múltiples nódulos subcutáneos, dolorosos, en región cervical.



Fotografía 42. Se observan bacilos alcohol ácido-resistente. Ziehl Neelsen 100X.

El Círculo Dermatológico del Perú organiza dentro de sus actividades de proyección a la comunidad

La Campaña de Educación, Prevención y Detección Temprana del Cáncer de Piel y Melanoma denominada

"El Día del Lunar"

El primer domingo de febrero de cada año

Agradecemos a los gobiernos locales, entidades del sector público y privado y médicos dermatólogos que colaboran en esta campaña y los exhortamos a seguir contribuyendo con su esfuerzo al éxito de la misma en beneficio de nuestra población y nuestro país.

